

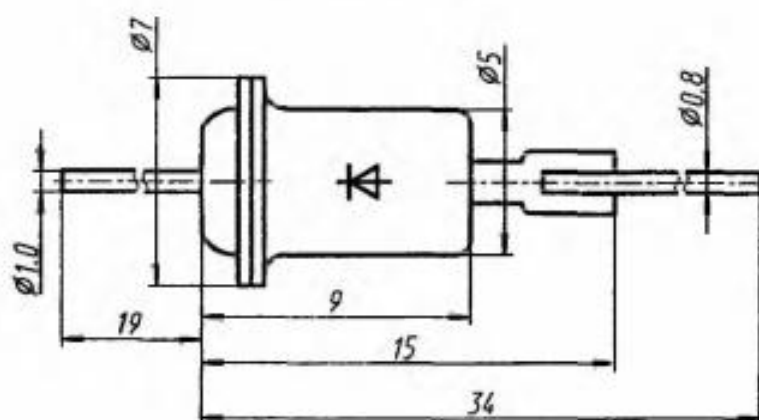
2C133A, 2C139A, 2C147A, 2C156A, 2C168A, KC133A, KC139A, KC147A, KC156A, KC168A

Стабилитроны кремниевые, сплавные, малой мощности. Предназначены для стабилизации номинального напряжения 3,3...6,8 В в диапазоне токов стабилизации 3...81 мА.

2C133A, 2C139A, 2C147A, 2C156A, 2C168A выпускаются в металлокерамическом корпусе с гибкими выводами. Тип прибора приводится на корпусе; корпус в рабочем режиме служит положительным электродом (анодом).

Масса стабилитронов не более 1 г.

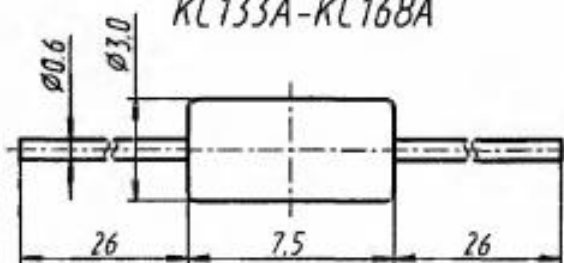
2C133A-2C168A



KC133A, KC139A, KC147A, KC156A, KC168A выпускаются в стеклянном корпусе с гибкими выводами. Для обозначения типа и полярности стабилитрона используется условная маркировка — голубая кольцевая полоса со стороны катодного вывода и разноцветные кольцевые полосы по сторонам анодного вывода: KC133A — белая, KC139A — зеленая, KC147A — серая, KC156A — оранжевая, KC168A — красная. В режиме стабилизации полярность включения стабилитрона обратная.

Масса стабилитронов не более 0,3 г.

KC133A-KC168A



Электрические параметры

Напряжение стабилизации при $I_{CT} = 10 \text{ mA}$:

$T = +25 \text{ }^{\circ}\text{C}$:

2C133A, KC133A	2,97...3,3...
	3,63 В
2C139A, KC139A	3,51...3,9...
	4,29 В
2C147A, KC147A	4,23...4,7...
	5,17 В
2C156A, KC156A	5,04...5,6...
	6,16 В
2C168A, KC168A	6,12...6,8...

$T = -60 \text{ }^{\circ}\text{C}$:

2C133A, KC133A	3...4,1 В
2C139A, KC139A	3,5...4,8 В
2C147A, KC147A	4...5,6 В
2C156A, KC156A	4,7...6,6 В
2C168A, KC168A	5,6...8 В

$T = +125 \text{ }^{\circ}\text{C}$:

2C133A, KC133A	2,6...3,7 В
2C139A, KC139A	3,1...4,3 В
2C147A, KC147A	3,7...5,5 В
2C156A, KC156A	4,7...6,6 В
2C168A, KC168A	5,6...8 В

Температурный коэффициент напряжения стабилизации при $T = -60...+125 \text{ }^{\circ}\text{C}$:

2C133A, KC133A	-0,11%/ $^{\circ}\text{C}$...0
2C139A, KC139A	-0,10%/ $^{\circ}\text{C}$...0
2C147A, KC147A	-0,09...
2C156A, KC156A	0,01%/ $^{\circ}\text{C}$
2C168A, KC168A	$\pm 0,05\%/{^{\circ}\text{C}}$
	$\pm 0,06\%/{^{\circ}\text{C}}$

Временная нестабильность напряжения стабилизации 2C133A, 2C139A, 2C147A, 2C156A,

2C168A

$\pm 1\%$

Время выхода на режим 2C133A, 2C139A,

2C147A, 2C156A, 2C168A:

при измерении U_{CT}	5* с
при измерении U_{CT} точно	10* мин

Постоянное прямое напряжение

при $I_{NP} = 50 \text{ mA}$, не более

1 В

Постоянный обратный ток при $U_{OBR} = 0,7 U_{CT}$

для 2C133A, 2C139A, 2C147A, 2C156A,

не более

1* мА

Дифференциальное сопротивление, не более:

при $I_{CT} = 10$ мА, $T = +25$ °С:

2C133A, KC133A	65 Ом
2C139A, KC139A	60 Ом
2C147A, KC147A	56 Ом
2C156A, KC156A	46 Ом
2C168A, KC168A	28 Ом

при $I_{CT} = 10$ мА, $T = -60$ и $+125$ °С:

2C133A, 2C139A, KC133A, KC139A	85 Ом
2C147A, KC147A	80 Ом
2C156A, KC156A	60 Ом
2C168A	39 Ом
KC168A	36 Ом

при $I_{CT} = 3$ мА:

2C133A, 2C139A, KC133A, KC139A	180 Ом
2C147A, 2C156A, KC147A, KC156A	160 Ом
2C168A, KC168A	120 Ом

Предельные эксплуатационные данные

Минимальный ток стабилизации 3 мА

Максимальный ток стабилизации¹:

при $T \leq +50$ °С:

2C133A, KC133A	81 мА
2C139A, KC139A	70 мА
2C147A, KC147A	58 мА
2C156A, KC156A	55 мА
2C168A, KC168A	45 мА

при $T = +125$ °С:

2C133A, KC133A	27 мА
2C139A, KC139A	23 мА
2C147A, KC147A	19 мА
2C156A, KC156A	18 мА
2C168A, KC168A	15 мА

Рассеиваемая мощность¹:

при $T \leq +50$ °С 300 мВт

при $T = +125$ °С 100 мВт

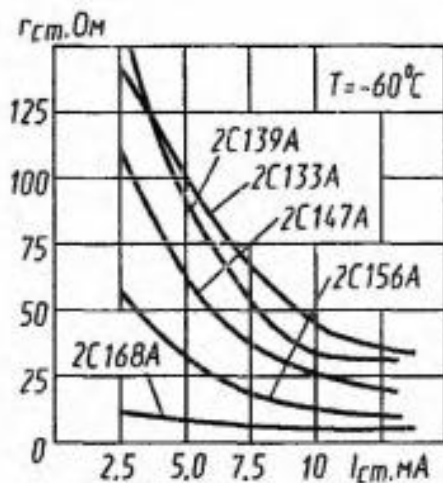
Температура окружающей среды $-60...+125$ °С

¹ В диапазоне температур окружающей среды $+50...+125$ °С допустимые значения максимального тока стабилизации и рассеиваемой мощности снижаются линейно.

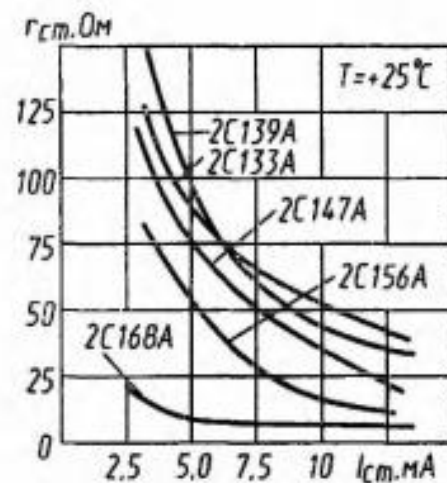
Пайка выводов допускается не ближе 5 мм от корпуса, изгиб выводов — не ближе 2 мм (3 мм для КС133А—КС168А) с радиусом закругления не менее 1,5 мм. Температура корпуса при пайке не должна превышать +125 °С.

Растягивающая сила не должна превышать 19,6 Н для вывода диаметром 1 мм и 9,8 Н для вывода диаметром 0,6 мм.

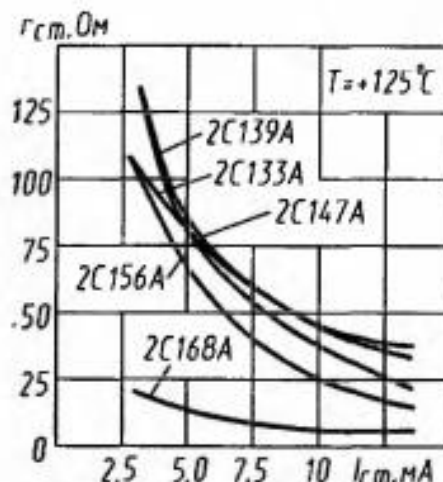
Допускается последовательное или параллельное соединение любого числа стабилитронов.



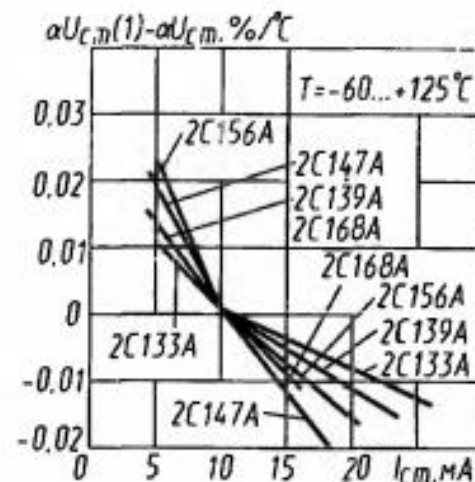
Зависимости дифференциального сопротивления от тока



Зависимости дифференциального сопротивления от тока



Зависимости дифференциального сопротивления от тока



Зависимости температурного коэффициента напряжения стабилизации от тока